



UNIVERSITAS DIPONEGORO

**SIMULASI CFD 3D EFEK LOKASI INJEKTOR TERHADAP
DISTRIBUSI MASSA AMONIA (NH₃) PADA SISTEM
NH₃-SCR *CATALYTIC FILTER* DENGAN *STATIC MIXER*
MENGGUNAKAN FILTER *DIA-SCHUMALITH* UNTUK
APLIKASI MESIN *DIESEL* OTOMOTIF**

TUGAS AKHIR

**SUPARNO
L2E 006 083**

**FAKULTAS TEKNIK
JURUSAN TEKNIK MESIN**

**SEMARANG
SEPTEMBER 2011**

TUGAS SARJANA

Diberikan kepada : Nama : Suparno
Nim : L2E 006 083

Dosen Pembimbing : Dr. Syaiful, ST, MT

Co. Pembimbing : -

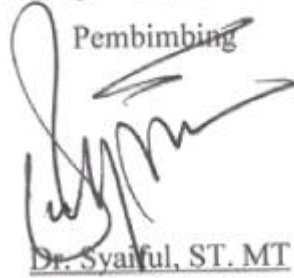
Jangka Waktu :

Judul : **SIMULASI CFD 3D EFEK LOKASI INJEKTOR TERHADAP DISTRIBUSI MASSA AMONIA (NH₃) PADA SISTEM NH₃-SCR CATALYTIC FILTER DENGAN STATIC MIXER MENGGUNAKAN FILTER DIA-SCHUMALITH UNTUK APLIKASI MESIN DIESEL OTOMOTIF**

Isi Tugas :

1. Mengetahui pengaruh lokasi injektor terhadap distribusi amonia dalam sistem penyaringan NH₃-SCR dengan mixer statik menggunakan filter DIA-Schumalith.
2. Mengetahui besarnya pressure drop pada pemakaian katalis DIA-Schumalith.

Semarang, September 2011

Pembimbing

Dr. Syaiful, ST. MT

NIP. 197403081999031005

HALAMAN PERNYATAAN ORISINALITAS

**Skripsi/Tesis/Disertasi ini adalah hasil karya saya sendiri,
dan semua sumber baik yang dikutip maupun yang dirujuk
telah saya nyatakan dengan benar.**

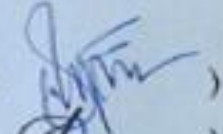
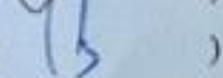
NAMA	:	Suparno
NIM	:	L2E 006 083
Tanda Tangan	:	
Tanggal	:	26 September 2011

HALAMAN PENGESAHAN

Skripsi ini diajukan oleh :
NAMA : Suparno
NIM : L2E 006 083
Jurusan/Program Studi : Teknik Mesin
Judul Skripsi : Simulasi CFD 3D Efek Lokasi Injektor terhadap Distribusi Massa Amonia (NH₃) pada Sistem NH₃-SCR Catalytic Filter Dengan Static Mixer Menggunakan Filter Dia-Schumalith Untuk Aplikasi Mesin Diesel Otomotif.

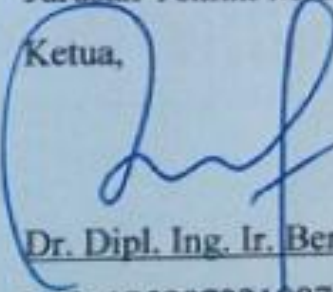
Telah berhasil dipertahankan di hadapan Tim Penguji dan diterima sebagai bagian persyaratan yang diperlukan untuk memperoleh gelar Sarjana Teknik pada Jurusan/Program Studi Teknik Mesin, Fakultas Teknik, Universitas Diponegoro.

TIM PENGUJI

Pembimbing	: Dr. Syaiful, ST. MT.	()
Penguji	: Dr. Susilo Adi W, ST.MT.	()
Penguji	: Dr. Ir. Eflita Yohana, MT.	()

Semarang, September 2011

Jurusan Teknik Mesin



Dr. Dipl. Ing. Ir. Berkah Fadjar TK

NIP. 195907221987031003

HALAMAN PERNYATAAN PERSETUJUAN PUBLIKASI TUGAS AKHIR UNTUK KEPENTINGAN AKADEMIS

Sebagai civitas akademika Universitas Diponegoro, saya yang bertanda tangan di bawah ini :

Nama : Suparno
NIM : L2E 006 083
Jurusan/Program Studi : Teknik Mesin
Departemen : Universitas Diponegoro
Fakultas : Teknik
Jenis Karya : Skripsi

demi pengembangan ilmu pengetahuan, menyetujui untuk memberikan kepada Universitas Diponegoro **Hak Bebas Royalti Noneksklusif** (*None-exclusive Royalty Free Right*) atas karya ilmiah saya yang berjudul :

“Simulasi CFD 3D Efek Lokasi Injektor terhadap Distribusi Massa Amonia (NH₃) pada Sistem NH₃-SCR *Catalytic Filter Dengan Static Mixer Menggunakan Filter Dia-Schumalith Untuk Aplikasi Mesin Diesel Otomotif”*

beserta perangkat yang ada (jika diperlukan). Dengan Hak Bebas Royalti/Noneksklusif ini Universitas Diponegoro berhak menyimpan, mengalihmedia/formatkan, mengelola dalam bentuk pangkalan data (*database*), merawat dan memublikasikan tugas akhir saya selama tetap mencantumkan nama saya sebagai penulis/pencipta dan sebagai pemilik Hak Cipta.

Demikian pernyataan ini saya buat dengan sebenarnya.

Dibuat di : Semarang
Pada Tanggal : September 2011

Yang menyatakan



(Suparno)
L2E 006 083

MOTTO

“ORANG SUKSES BUKANLAH ORANG YANG TIDAK
PERNAH GAGAL, ORANG SUKSES ADALAH ORANG
YANG MAMPU BANGKIT DARI KEGAGALAN DAN
MENERIMA KEGAGALAN ITU SEBAGAI PEMICU
UNTUK MERAIH KESUKSESAN“

“BARANG SIAPA BERSUNGGUH-SUNGGUH PASTI AKAN
BERHASIL MENDAPATKAN APA YANG
DIUSAHKANNYA“

PERSEMBAHAN

**Karya ini kupersembahkan kepada:
Keluargaku tercinta Bapak dan Ibu,
Supriyanto, dan Sulipah.
Serta Saudara-saudaraku di wisma Alhikmah**

ABSTRAK

Distribusi massa amonia merupakan faktor utama dalam meminimalkan NOx pada sistem NH₃-SCR. Sistem NH₃-SCR memiliki keterbatasan pada jarak antara *engine exhaust* dan katalis. Untuk mengetahui karakteristik efek lokasi injektor terhadap distribusi massa amonia dalam sistem NH₃-SCR dan besarnya *pressure drop* pada *Diaschumalith* dilakukan dengan pemodelan CFD 3D. Dalam pemodelan Sistem NH₃-SCR membandingkan efek perubahan lokasi injector pada NH₃ SCR dengan *mixer static* dan NH₃ SCR tanpa *mixer static*. Fluida kerjanya adalah udara panas pada temperatur 450 K dan amonia pada 300 K, kecepatan fluida masuk pada sisi inlet pipa SCR dan injeksi amonia divariasikan pada GHSV 10000, 20000, 30000, dan 40000. Pemodelan yang diambil dengan turbulensi *k-ε* model, aliran *incompresible flow*, *material properties polynomial* yang merupakan fungsi temperatur, dan *pressure velocity coupling* tipe *Simple*. Lokasi injektor 58 cm, 53 cm, 45 cm, dan 40 cm dari *dia-schumalith* dengan lokasi *static mixer* pada 48 cm hingga 50 cm. Dari hasil pemodelan didapatkan semakin besar GHSV maka *mixing indeks* gas buang dengan amonia dan *pressure drop* pada *dia-schumalith* semakin besar. Pengaruh lokasi injektor optimum terhadap pencampuran amonia dan udara panas berada pada 53 cm dari *dia-schumalith* atau 3 cm sebelum *mixer static*.

Kata Kunci: Lokasi injektor, *GHSV*, *mixing indeks* dan *pressure drop*.

ABSTRACT

Mass distribution of ammonia is a major factor in minimizing NOx at NH₃-SCR system with a static mixer. NH₃-SCR is restricted distance between the engine exhaust and the catalyst. To known the characteristics of injection placement effect to the mass distribution of ammonia and magnitude that occurs in Dia-schumalith filter in NH₃-SCR system with 3D-CFD. In the 3D CFD simulation of NH₃-SCR system to compare effect displacement injection at NH₃-SCR with static mixer and NH₃-SCR without static mixer. Working fluids are hot air at a temperature of 450 K and ammonia at 300 K, fluid velocity at the inlet pipe into SCR and ammonia injection being varied at GHSV 10000, 20000, 30000, and 40000. Modelling taken with the k- ϵ turbulence model, the flows are incompressible flow, material properties of polynomials which is a function of temperature, pressure and velocity coupling of type Simple. Location injector 58 cm, 53 cm, 45 cm and 40 cm from Dia-schumalith with the location of static mixer at 48 cm to 50 cm. From the modeling results are known that larger GHSV make mixing index exhaust gas with ammonia and pressure drop at Dia-schumalith be larger. Influence the optimum injector location of mixing ammonia and hot air is at 53 cm from the Dia-schumalith or 3 cm before the static mixer.

keyword: Displacement injector, *GHSV, mixing index and pressure drop.*

KATA PENGANTAR

Puji syukur kehadirat Tuhan Yang MahaEsa atas rahmat, taufik, hidayah dan inayah-Nya sehingga penulis dapat menyelesaikan laporan tugas akhir ini dengan sebaik-baiknya. Tugas Akhir yang berjudul "**Simulasi CFD 3D Efek Lokasi Injektor terhadap Distribusi Massa Amonia (NH₃) pada Sistem NH₃-SCR Catalytic Filter Dengan Static Mixer Menggunakan Filter Dia-Schumalith Untuk Aplikasi Mesin Diesel Otomotif**" ini dimaksudkan untuk memenuhi persyaratan dalam menyelesaikan Pendidikan Tingkat Sarjana Strata Satu (S1) pada Jurusan Teknik Mesin Fakultas Teknik Universitas Diponegoro.

Dalam kesempatan ini penyusun ingin menyampaikan rasa hormat dan terimakasih setulus-tulusnya kepada semua pihak yang telah membantu dan memberikan dorongan kepada penyusun selama penyusunan Tugas Akhir ini, antara lain:

1. Dr.Syaiful,ST,MT selaku Pembimbing, yang telah memberikan bimbingan, pengarahan-pengarahan dan masukan-masukan kepada penyusun dalam menyusun Tugas Akhir ini.
2. Teman-teman satu kelompok yang telah bekerjasama dalam menyusun Tugas Akhir ini.

Dengan penuh kerendahan hati, penyusun menyadari akan kekurangan dan keterbatasan pengetahuan yang penyusun miliki, untuk itu penyusun mengharapkan saran dan kritik yang membangun dari semua pihak. Akhir kata semoga Tugas Akhir ini dapat bermanfaat bagi pembaca dan semakin menambah kecintaan dan rasa penghargaan kita terhadap Teknik Mesin Universitas Diponegoro.

Semarang, Agustus 2011

Penulis

DAFTAR ISI

HALAMAN JUDUL.....	i
HALAMAN TUGAS SARJANA	ii
HALAMAN PERNYATAAN ORISINALITAS.....	iii
HALAMAN PENGESAHAN.....	iv
HALAMAN PERNYATAAN PERSETUJUAN PUBLIKASI.....	v
MOTTO DAN PERSEMBAHAN	vi
ABSTRAK	viii
ABSTRACT	ix
KATA PENGANTAR	x
DAFTAR ISI.....	xi
DAFTAR GAMBAR	xv
DAFTAR TABEL.....	xix
NOMENKLATUR.....	xx
BAB I PENDAHULUAN.....	1
1.1. Latar Belakang.....	1
1.2. Alasan Pemilihan Judul	2
1.3. Tujuan Penulisan	2
1.4. Batasan Masalah.....	2
1.5. Metode Penulisan	3
1.6. Sistematika Penulisan.....	4
BAB II DASAR TEORI.....	5
2.1. Mesin Diesel.....	5
2.1.1 Prinsip Kerja	5
2.1.2 Gas Buang dan Dampak untuk Kesehatan.....	7
2.1.3 Selective Catalytic Reduction (SCR).....	8

2.1.4	Urea SCR System	9
2.1.5	<i>Ammonia SCR System</i>	10
2.1.6	<i>Dia-schumalith Filter</i>	11
2.2.	Pengertian Fluida.....	12
2.2.1.	Viskositas	13
2.2.2.	Bilangan Reynolds	14
2.2.3.	Klasifikasi Aliran Fluida.....	15
2.2.4.	Aliran viskos dan non-viskos (<i>viscous and inviscid flow</i>)	15
2.2.5.	Aliran Laminer dan turbulent (<i>laminer and turbulent flow</i>)	16
2.2.6.	Aliran Mampu mampat dan tak mampu mampat (<i>compressibel and incompressibel flow</i>).....	17
2.2.7.	Aliran Dalam dan Luar (<i>internal and external flow</i>)	18
2.2.8.	Aliran di Dalam pipa.....	19
2.3.	Persamaan Dasar Aliran Fluida	21
2.3.1	Persamaan Kekekalan Massa	21
2.3.2	Persamaan Kekekalan Momentum.....	24
2.3.3	Persamaan Energi	27
2.3.4	Model Aliran <i>Turbulent</i> , Standar K- ϵ	29
2.4.	<i>Computational Fluid Dynamics</i> (CFD)	30
2.4.1	Metode Numerik pada CFD	31
2.4.1.1.	<i>Solver Segregated</i>	32
2.4.1.2.	<i>Solver Coupled</i>	34
2.4.2	Solusi Kontrol	35
2.4.3	<i>Simple And Simplec</i>	36
2.4.4	Bentuk <i>Grid</i>	36
2.4.5	<i>Mesh</i>	38
2.4.5.1.	Kerapatan Nodal	38
2.4.5.2.	Kehalusinan (<i>Smoothness</i>).....	38
2.4.5.3.	Bentuk <i>Cell</i>	38

2.4.6	Adapsi <i>Grid</i>	39
2.4.6.1.	Proses Adapsi	39
2.4.7	IntensitasTurbulen (<i>Turbulent Intensity</i>)	40
2.4.8	<i>Gas Hourly Space Velocity</i> (GHSV)	40
2.4.9	<i>Species Transport</i>	40
2.4.10	<i>Porous Media</i>	41
2.5.	Indeks Pencampuran (<i>Mixing Index</i>).....	42
2.6.	<i>Friction Velocity</i>	43
BAB III SIMULASI DAN METODE KOMPUTASI.....		45
3.1.	Deskripsi Masalah	45
3.2.	Simulasi Aliran pada Sistem <i>Selective Catalytic Reduction</i>	48
3.2.1	Pembentukan Model	48
3.2.2	Penggenerasian Mesh.....	49
3.2.3	Simulasi CFD.....	52
3.2.3.1.	<i>Check Mesh</i>	53
3.2.3.2.	Solver dan Model Turbulensi.....	54
3.2.3.3.	Penentuan <i>Material Properties</i>	54
3.2.3.4.	Pendefinisian Kondisi Batas	56
3.2.3.5.	Pemilihan Solusi	59
3.2.3.6.	Monitor.....	60
3.2.3.7.	<i>Solution Initialization</i>	60
3.2.3.8.	Iterasi.....	60
3.2.4	Validasi	61
BAB IV ANALISA DAN PEMBAHASAN		65
4.1	Hasil Simulasi.....	65
4.1.1	Indeks Pencampuran (<i>Mixing Index</i>)	65
4.1.1.1.	Visualisasi Kontur Kecepatan	65
4.1.1.2.	Visualisasi Vektor Kecepatan	69
4.1.1.3.	Visualisasi Kontur Intensitas <i>Turbulent</i>	73

4.1.1.4. Visualisasi Kontur Distribusi Fraksi Massa Amonia.....	75
4.1.2 <i>Pressure Drop</i>	86
4.1.2.1. Visualisasi Kontur Tekanan	86
4.1.2.2. Grafik <i>Pressure Drop</i>	88
BAB V KESIMPULAN DAN SARAN.....	90
5.1 Kesimpulan.....	90
5.2 Saran	90

DAFTAR PUSTAKA

LAMPIRAN

DAFTAR GAMBAR

Gambar 2.1	Sistem kerja mesin empat langkah	6
Gambar 2.2	Peran nitrogen dalam kimia atmosfer.....	8
Gambar 2.3	<i>Urea-Selective Catalytic Reduction System</i>	10
Gambar 2.4	NH ₃ -SCR.....	11
Gambar 2.5	Dia-Schumalith.....	12
Gambar 2.6	Efek dari (a) benda padat (<i>solid</i>) dan (b) fluida, jika diberikan gaya geser yang konstan.....	12
Gambar 2.7	Deformasi elemen fluida	13
Gambar 2.8	Klasifikasi Aliran Fluida	15
Gambar 2.9	Perbandingan kecepatan fluida terhadap waktu	16
Gambar 2.10	(a) Aliran luar (<i>external flow</i>) dan (b) aliran dalam (<i>internal flow</i>).....	19
Gambar 2.11	Daerah masuk aliran sedang berkembang dan aliran berkembang penuh di dalam sistem pipa.....	20
Gambai 2.12	Aliran massa masuk dan keluar dari elemen fluida.....	22
Gambar 2.13	Gaya-gaya yang bekerja pada permukaan fluida.....	20
Gambar 2.14	Skema metode <i>solver segregated</i>	33
Gambar 2.15	Skema metode <i>solver coupled</i>	35
Gambar 2.16	Tipe cell 2D	37
Gambar 2.17	Tipe cell 3D	37
Gambar 2.18	Grid 3D: <i>tetrahedral</i> tak terstruktur dan <i>polyhedral</i>	37
Gambar 2.19	Grid 2D: <i>quadrilateral</i> terstruktur dan <i>triangular</i> tak terstruktur	37
Gambar 3.1	Diagram alir Pemodelan	47
Gambar 3.2	Sketsa Model	48
Gambar 3.3	(a) interior SCR	49
Gambar 3.3	(b) Geometri Sistem NH ₃ -SCR	49
Gambar 3.4	Kontrol pada fitur inflasi	50
Gambar 3.5	(a) Penamaan kondisi batas (b) Hasil mesh.....	51

Gambar 3.6	Pesan ketika <i>chek mesh</i>	53
Gambar 3.7	Pesan ketika pengecekan kualitas <i>mesh</i>	54
Gambar 3.8	Pendefinisian properties dari campuran	55
Gambar 3.9	Pendefinisian kondisi batas <i>velocity inlet</i>	57
Gambar 3.10	Pendefinisian kondisi batas <i>mass flow rate</i>	58
Gambar 3.11	Pendefinisian kondisi batas <i>pressure outlet</i>	58
Gambar 3.12	Pendefinisian kondisi batas <i>wall</i>	59
Gambar 3.13	Pendefinisian residual monitor	60
Gambar 3.14	Iterasi Mencapai Kriteria Konvergensi 1e-04	61
Gambar 3.15	<i>skin friction coefficient</i> 10000 GHSV	62
Gambar 3.16	<i>skin friction coefficient</i> 20000 GHSV	63
Gambar 3.17	<i>skin friction coefficient</i> 30000 GHSV	64
Gambar 3.18	<i>skin friction coefficient</i> 40000 GHSV	65
Gambar 4.1	Kontur Kecepatan	66
Gambar 4.2	(a) <i>Velocity Vector</i> pada <i>Porous Media</i> pada GHSV 10000 (b) <i>Velocity Vector</i> di dekat <i>Static Mixer</i> pada GHSV 10000.....	69
Gambar 4.3	(a) <i>Velocity Vector</i> pada <i>Porous Media</i> pada GHSV 20000 (b) <i>Velocity Vector</i> di dekat <i>Static Mixer</i> pada GHSV 20000.....	70
Gambar 4.4	(a) <i>Velocity Vector</i> pada <i>Porous Media</i> pada GHSV 30000 (b) <i>Velocity Vector</i> di dekat <i>Static Mixer</i> pada GHSV 30000.....	71
Gambar 4.5	(a) <i>Velocity Vector</i> pada <i>Porous Media</i> pada GHSV 40000 (b) <i>Velocity Vector</i> di dekat <i>Static Mixer</i> pada GHSV 40000.....	72
Gambar 4.6	Kontur Intensitas <i>Turbulent</i>	73
Gambar 4.7	Kontur distribusi massa amonia	76
Gambar 4.8	Perbandingan indeks pencampuran dengan lokasi <i>injector</i> untuk kasus tanpa <i>static mixer</i> dan dengan <i>static mixer</i> pada kondisi GHSV 10000	79
Gambar 4.9	Perbandingan indeks pencampuran dengan lokasi <i>injector</i> untuk kasus tanpa <i>static mixer</i> dan dengan <i>static mixer</i> pada kondisi GHSV 20000	80

Gambar 4.10 Perbandingan indeks pencampuran dengan lokasi <i>injector</i> untuk kasus tanpa <i>static mixer</i> dan dengan <i>static mixer</i> pada kondisi GHSV 30000	80
Gambar 4.11 Perbandingan indeks pencampuran dengan lokasi <i>injector</i> untuk kasus tanpa <i>static mixer</i> dan dengan <i>static mixer</i> pada kondisi GHSV 40000	81
Gambar 4.12 Perbandingan Prosentase Kenaikan <i>mixing indeks</i> pada variasi GHSV.....	83
Gambar 4.13 Perbandingan <i>mixing indeks</i> untuk kasus SCR variasi tanpa <i>static mixer</i> dengan filter <i>Dia-schumalith</i> , <i>static mixer</i> dengan filter <i>Dia-schumalith</i> , <i>static mixer</i> dengan filter <i>porous media honeycomb</i> dan dengan <i>dynamic mixer</i> dengan filter <i>porous media honeycomb</i> pada GHSV 10000.....	84
Gambar 4.14 Perbandingan <i>mixing indeks</i> untuk kasus SCR variasi tanpa <i>static mixer</i> dengan filter <i>Dia-schumalith</i> , <i>static mixer</i> dengan filter <i>Dia-schumalith</i> , <i>static mixer</i> dengan filter <i>porous media honeycomb</i> dan dengan <i>dynamic mixer</i> dengan filter <i>porous media honeycomb</i> pada GHSV 20000.....	84
Gambar 4.15 Perbandingan <i>mixing indeks</i> untuk kasus SCR variasi tanpa <i>static mixer</i> dengan filter <i>Dia-schumalith</i> , <i>static mixer</i> dengan filter <i>Dia-schumalith</i> , <i>static mixer</i> dengan filter <i>porous media honeycomb</i> dan dengan <i>dynamic mixer</i> dengan filter <i>porous media honeycomb</i> pada GHSV 30000.....	85
Gambar 4.16 Perbandingan <i>mixing indeks</i> untuk kasus SCR variasi tanpa <i>static mixer</i> dengan filter <i>Dia-schumalith</i> , <i>static mixer</i> dengan filter <i>Dia-schumalith</i> , <i>static mixer</i> dengan filter <i>porous media honeycomb</i> dan dengan <i>dynamic mixer</i> dengan filter <i>porous media honeycomb</i> pada GHSV 40000.....	85
Gambar 4.17 Kontur tekanan	88
Gambar4.18 Perbandingan <i>Pressure Drop</i> GHSV 10000, 20000, 30000, dan 40000.	89

DAFTAR TABEL

Tabel 2.1 Berbagai Variasi Solusi Kontrol pada CFD	35
Tabel 3.1 Variasi Lokasi dan <i>Mixer Static</i>	48
Tabel 3.2 Ukuran <i>Grid</i> Berdasarkan Jumlah Sel, Sisi, Dan nodal.....	52
Tabel 3.3 Koefisien <i>Polynomial</i> untuk Fluida <i>Hot Air</i>	48
Tabel 3.4 Koefisien <i>Polynomial</i> untuk Fluida Amonia	48
Tabel 3.5 Variasi Laju Aliran Masuk <i>Hot Air</i>	56
Tabel 3.6 Variasi Laju Aliran Massa Amonia	57
Tabel 3.7 Model Solusi yang Digunakan dalam Simulasi	59

NOMENKLATUR

A	Luasan	m^2
C	Konsentrasi fraksi massa	-
E	Energi dalam per satuan massa	Nm/kg
F	gaya	N
I	Intensitas turbulen	%
L	Panjang pipa	m
Q	Laju aliran	m^3/h
u	Kecepatan	m/s
u^-	Kecepatan rata – rata untuk aliran	m/s
U	Kecepatan maksimum	m/s
v	Viskositas kinematis	m^2/s
V	Volume	m^3
μ	Viskositas dinamik	Ns/m^2
ρ	Densitas	kg/m^3
τ_w	Tegangan geser dinding	N/m^2
Γ	Indeks pencampuran	-